



Designnotat 7

Tittel: Anti-Aliasing Filter

Forfattere: Sindre Danielsen

Versjon: 1.4

Dato: 11.12.21

Innhold

| | | |
|---|---------------------|----|
| 1 | Problembeskrivelse | 2 |
| 2 | Prinsipiell løsning | 3 |
| 3 | Realisering og test | 7 |
| 4 | Konklusjon | 11 |

1 Problembeskrivelse

Når et analogt signal skal filtreres, så brukes vanligvis digital signalbehandling. For å unngå at ADC omformeren skal få alvorlige *aliasing-feil*, så burde båndbredden B begrenses. Dette kan gjøres ved et *anti-aliasing filter* slik vist i figur 1.



Figur 1: Filtrerer vekk uønskede frekvenser på signalet $v_1(t)$, som gir signalet $v_2(t)$.

Anti-alias filtreringen skal brukes ved en punktprøvingsfrekvens f_s , som er gitt ved $f_s = 2B$. En fullstendig båndbegrensning er derimot ikke mulig i praksis. Det er heller ikke nødvendig, så lenge frekvensene større enn B blir svekket betydelig og frekvensene innenfor B ikke blir vesentlig påvirket. Ved bruk av analoge filter, så er det mulig å oppnå ved en knekkfrekvens f_c slik ønskelig.

Krav til $v_2(t)$:

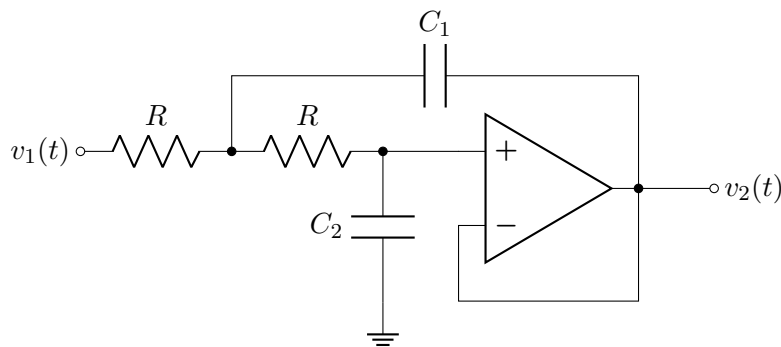
- Dempning $A_{min} \leq -10\text{db}$ ved B .
- Knekkfrekvensen (-3db fra maksimum amplituderespons.):

$$f_c \geq 0.75 \frac{f_s}{2} \tag{1}$$

2 Prinsipiell løsning

Et anti-aliasing filter kan utvikles ved bruk av et lavpass filter. Enten det er bruk av RC filter, RCL filter eller andre muligheter som Butterworth- eller Chebeshev filter. Merk at spolen i et RCL filter vil i virkeligheten ha litt motstand, spesielt for større spoler.

Et aktivt lavpass filter, som holder passbandet maksimalt flatt, samt en valgbar dempning ved B er Butterworth filteret. Det har flatere knekkfrekvens enn Chebeshev filter, men til gjengjeld, så er det neglisjerbare forstyrrelser for amplituderesponen i og utenfor B . Filter design på analoge signal går ut ifra et system som er sensitivt for forstyrrelse i amplituderesponen og derfor velges et Butterworth filter, slik vist i figur 2.



Figur 2: 2.ordens Butterworth filter med Sallen-Key kretstopologi [2].

Filteret filtrerer ut de høye frekvensene fra $v_1(t)$ og sender ut et signal $v_2(t)$ som har de lave frekvensene påtrykket. Det er vanlig at motstandene R i kretsen er like hverandre, som gjør analysen lettere. Dersom et 1. ordens filter ønskes, så kan kondensatoren C_1 fjernes. Kondensatoren C_2 i samband med C_1 skaper et 2. ordens filter.

For å utvikle filteret som nevnes i seksjon 1, så er likningen for et Butterworth filter gitt ved:

$$A_{min} = |H(j2\pi)| = \frac{1}{\sqrt{1 + \left(\frac{f_c}{B}\right)^{2n}}}, \quad (2)$$

Den generelle formelen har en ϵ^2 fremfor $\left(\frac{f_c}{B}\right)^{2n}$, men vanligvis er $f_c = -3\text{db} \implies \epsilon^2 = 1$. For mer informasjon om Butterworth filter, se [1].

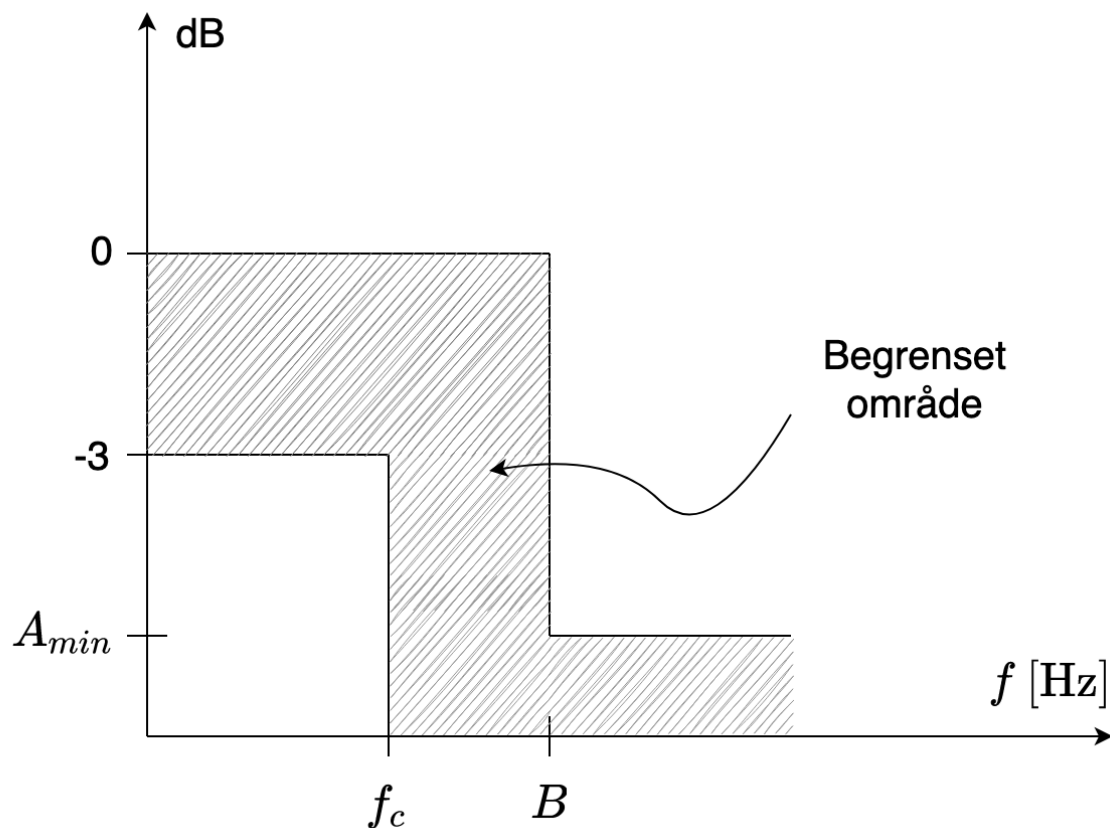
N-orden gir informasjon om hvor mange poler som eksisterer:

- $n = 1 \implies$ 1. ordens lavpass filter.
- $n = 2 \implies$ 2. ordens lavpass filter
- $n > 2 \implies$ 1. ordens- og 2. ordens-lavpass filter i seriekopling.

Det er derfor essensielt å finne n-orden på kretsen, som kan gjøres ved å omforme likning 2 til

$$n = \frac{1}{2} \frac{\ln(A^{-2} - 1)}{\ln\left(\frac{f_c}{B}\right)}. \quad (3)$$

Merk at n skal være et heltall. Ved desimaler, så rundes n opp til neste heltall. Å runde ned n impliserer at A_{min} vil øke. Da er det heller bedre å oppnå en større demping enn ønsket ved å øke n . Ønskelig frekvensspekter av $v_2(t)$ for et Butterworth filter er vist ved det begrensede området i figur 3.



Figur 3: Frekvensresponsen til et Butterworth filter.

Filteret vil ha tidskonstantene gitt ved

$$\tau_1 = \frac{1}{2\pi f_c \zeta} \quad , \quad \tau_2 = \frac{1}{(2\pi f_c)^2 \tau_1} . \quad (4)$$

Et 1. ordens system vil kun ta i bruk τ_1 .

Kondensatorene er gitt ved

$$C_1 = \frac{\tau_1}{R} \quad , \quad C_2 = \frac{\tau_2}{R} . \quad (5)$$

Vi mangler dempningsfaktoren ζ . Den kan eventuelt finnes grafisk ved å dele opp en halvsirkel for en reell- (x-aksen) og imagineær-akse (y-aksen). Det første komplekskonjugerte polparet $n = 2$ plasseres $\pm 45^\circ$. Hvis $n = 4$, så plasseres to komplekskonjugerte polpar på $\pm \left(45^\circ + \frac{45^\circ}{2}\right)$ og $\pm \left(45^\circ - \frac{45^\circ}{2}\right)$. Slik kan man fortsette for høyere N-orden. Det er vanlig å lese av ζ for den reelle verdien. Dette kan være tungvint å gjenta seg, så legger ved en liste for $n \in [1, 10]$, som vist ved tabell 1. Merk at alle verdier $\zeta_1, \zeta_2, \dots, \zeta_n$ har samme f_c , siden systemet er lineært innenfor opampens virkeområde.

| N-Orden n | Reelle Verdier ζ | N-Orden n | Reelle Verdier ζ |
|-------------|----------------------------|-------------|------------------------------------------------|
| 1 | 1.0000 | 6 | 0.9659 0.7071 0.2588 |
| 2 | 0.7071 | 7 | 0.9010 0.6235 0.2225 1.0000 |
| 3 | 0.5000 1.0000 | 8 | 0.9808 0.8315 0.5556 0.1951 |
| 4 | 0.9239 0.3827 | 9 | 0.9397 0.7660 0.5000 0.1737 1.0000 |
| 5 | 0.8090 0.3090 1.1000 | 10 | 0.9877 0.8910 0.7071 0.4540 0.1564 |

Tabell 1: Butterworth pol lokasjoner for ζ av $n \in [1, 10]$

En notasjon ved bruk av opamper er å velge $R \in [1k\Omega, 100k\Omega]$. Årsaken er at i dette området vil kretsen trekke minst mulig strøm og ha en neglisjerbar følsomhet for støy når det kommer til opamper. Det kalles *opampens gyldne regel*.

Generelt sett er det en enkel metodikk for utvikling av Butterworth filter:

1. Velg en R innenfor området gitt av den gyldne regel for opamper.
2. Regn ut N-orden for å finne antall butterworth-filter.
3. Finn ζ verdiene.
4. Regn ut kondensatorverdiene.

3 Realisering og test

Oppkoblingen av kretsen bruker komponentverdiene gitt ved tabell 2.

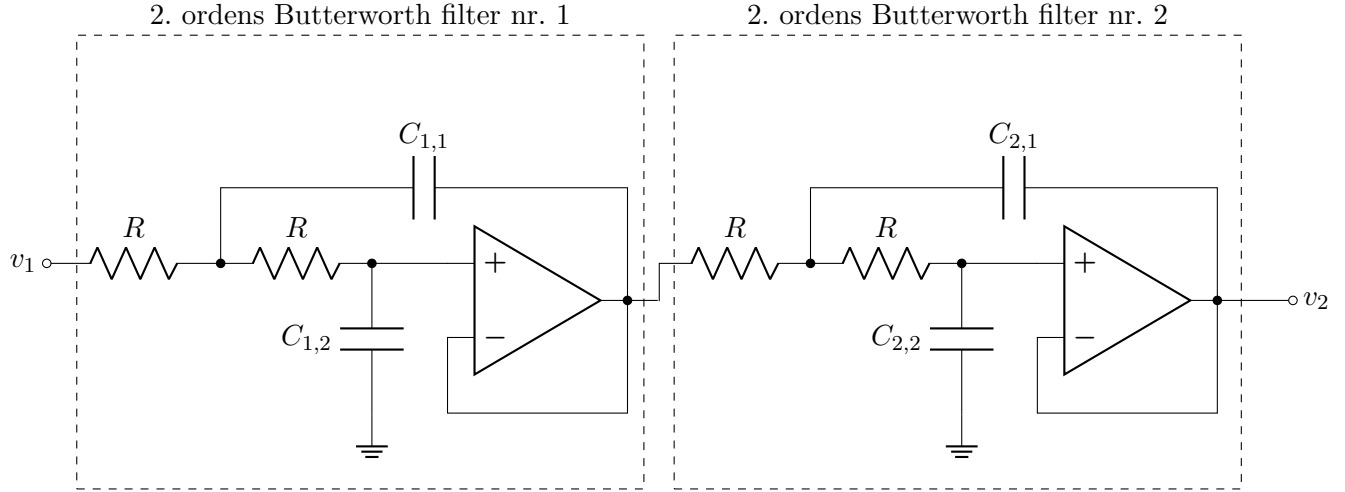
| Navn | Verdi | Beskrivelse |
|-----------|-------------------|--------------------------------------------------|
| opamp | LF353N | Tilgjengelige opamper. |
| R | $1\text{k}\Omega$ | Valgt motstand (innenfor opampens gyldne regel). |
| $C_{1,1}$ | 172nF | 1. Kondensator for 1. filter (likning 5). |
| $C_{1,2}$ | 147nF | 2. Kondensator for 1. filter. |
| $C_{2,1}$ | 416nF | 1. Kondensator for 2. filter. |
| $C_{2,2}$ | 60.9nF | 2. Kondensator for 2. filter. |

Tabell 2: Reelle verdier basert på tabell 3

| Navn | Verdi | Beskrivelse |
|--------------|-----------------------|--------------------------------------------------|
| f_s | 7.6kHz | Valgt samplingsfrekvens. |
| B | 3.8kHz | Gitt ved $f_s/2$. |
| f_c | $\geq 2.85\text{kHz}$ | Knekkfrekvens ved $\geq 0.75B$. |
| A_{min} | -10dB | Ønsket dempning ved B . |
| n | 4 | N-orden fra likning 3. |
| $\tau_{1,1}$ | $60.4\mu\text{s}$ | 1. tidskonstant for 1. filter (likning 4). |
| $\tau_{1,2}$ | $51.6\mu\text{s}$ | 2. tidskonstant for 1. filter. |
| $\tau_{2,1}$ | $145.9\mu\text{s}$ | 1. tidskonstant for 2. filter. |
| $\tau_{2,2}$ | $21.4\mu\text{s}$ | 2. tidskonstant for 2. filter. |
| R | $1\text{k}\Omega$ | Valgt motstand (innenfor opampens gyldne regel). |
| $C_{1,1}$ | 60.4nF | 1. Kondensator for 1. filter (likning 5). |
| $C_{1,2}$ | 51.6nF | 2. Kondensator for 1. filter. |
| $C_{2,1}$ | 145.9nF | 1. Kondensator for 2. filter. |
| $C_{2,2}$ | 21.4nF | 2. Kondensator for 2. filter. |

Tabell 3: De teoretiske verdiene av komponentene i figur 4.

Endrer figur 2 for $n = 4$, som vist ved figur 4.



Figur 4: Anti-aliasing filter: 4. ordens Butterworth filter.

Verdiene på τ utreknes ved bruk av $n = 4$ i tabell 1, der $\zeta_1 = 0.9239$ for første filteret og $\zeta_2 = 0.3827$ for det andre.

Siden kondensatorverdiene og R er ulike fra tabell 3 til tabell 2, så kan det være lurt å rekne ut frekvensene B og f_c for de nye verdiene. Vi kan da få en idé om det forventede resultatet ved frekvensanalysen. Isolering av f_c i likning 4 for τ_2 gir at

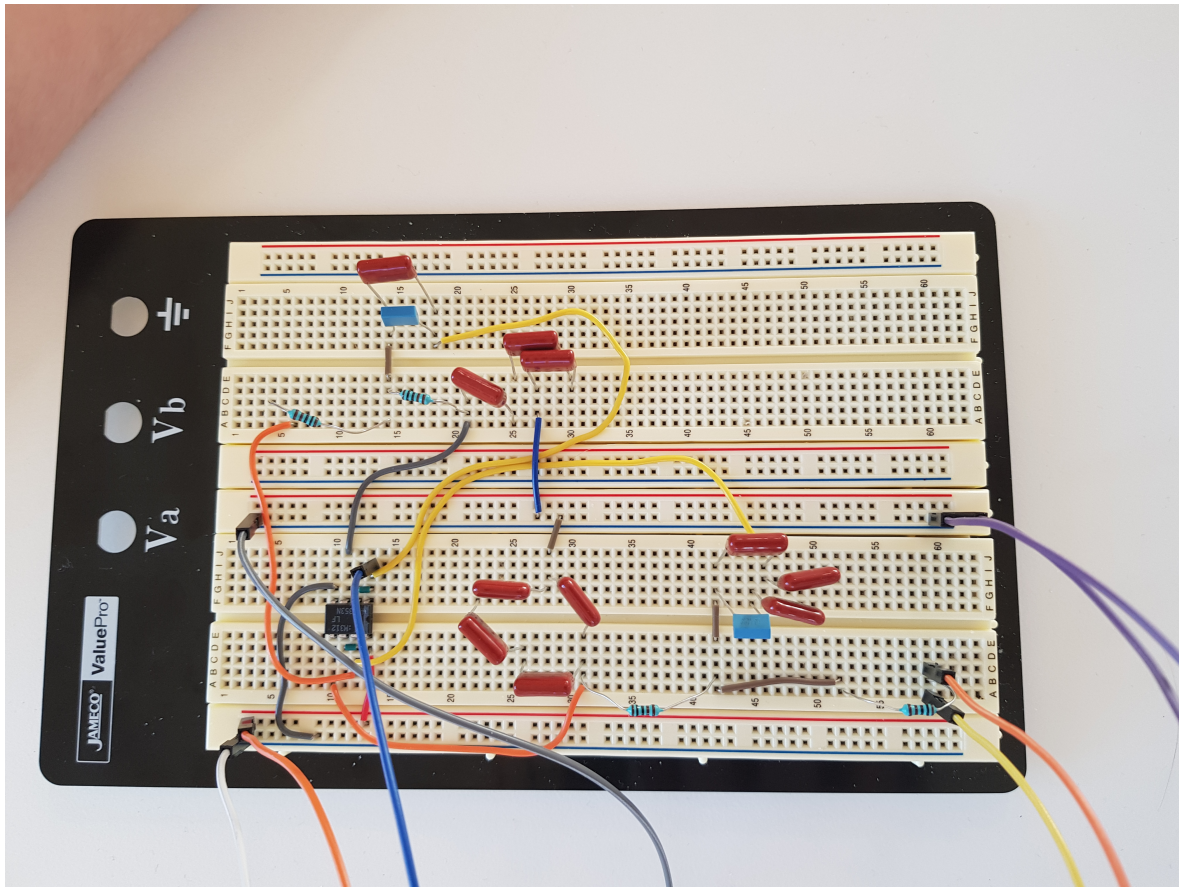
$$f_c^* = \frac{\zeta_1}{2\pi RC_{12}} = 2905.0\text{Hz}. \quad (6)$$

Merk at kondensatorer har toleranseområde på kapasitansen, som varierer på komponentene, så det kan gi minimale avvik i resultatet.

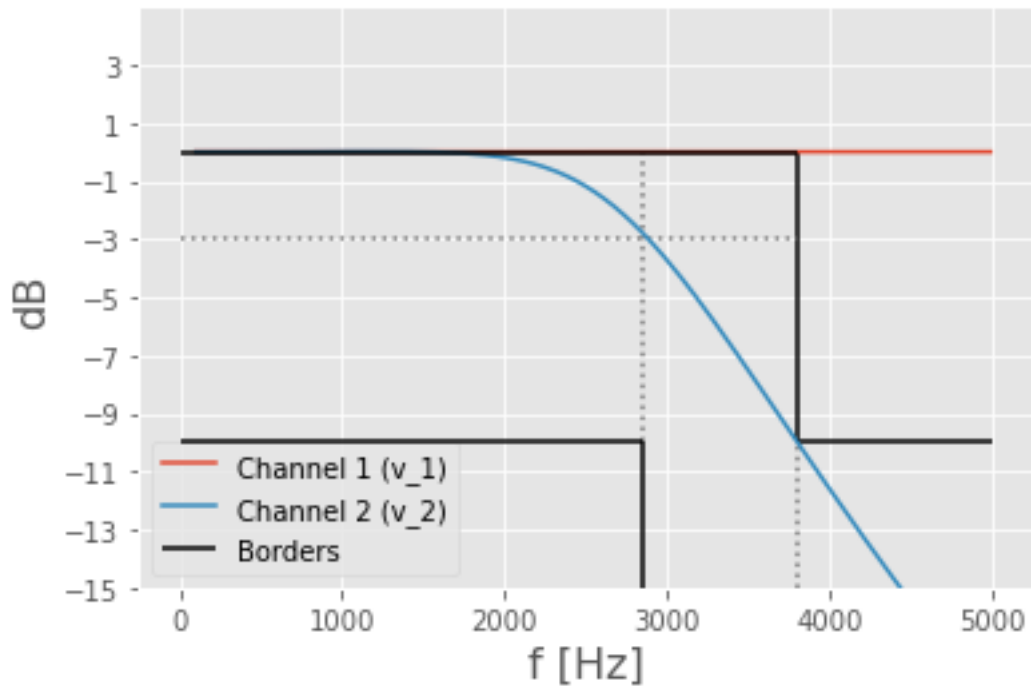
Forventer å få $A_{min} = -10\text{dB}$ ved

$$B^* = \frac{f_c}{0.75} = 3873.4\text{Hz}. \quad (7)$$

Kobler opp kretsen som vist i figur 5 og sammenlikner tidligere utregninger med figur 6.



Figur 5: Realiseringen av figur 4.



Figur 6: Frekvensspekter av figur 4 med grensene (borders) fra figur 3.

Fra figur 6 kan vi ved å observere nøye, se at amplituderresponsen til $v_2(t)$ ligger innenfor ønsket området for et Butterworth filter. Merk at der de stiplede linjene krysser hverandre gir en mindre frekvens enn der den horisontale stiplede linjen på $-3dB$ krysser $v_2(t)$. Det betyr at kravet om $f_c \geq 2.85kHz$ er verifisert. For mer nøyaktige verdier, så kan det brukes markører (cursors) i oscilloskop. Verdiene for f_c , f_c^* , B og B^* er vist i figur 7.

| | Name | Position | C2 |
|---|---------|------------|------------|
| 1 | f_c | 2.85 kHz | -2.7851 dB |
| 2 | B | 3.8 kHz | -9.9726 dB |
| 3 | f_c^* | 2.905 kHz | -3.1132 dB |
| 4 | B^* | 3.8734 kHz | -10.573 dB |

Figur 7: Markører for f_c og B .

Verdiene for $C2$ gir at kravene satt i seksjon 1 ikke overholdes for A_{min} eller f_c , dersom det brukes f_c^* og B^* .

4 Konklusjon

For utvikling av et anti-aliasing filter ved bruk av Butterworth filter design, så kreves det nøyaktighet i komponentverdier, herunder kondensatorer og motstander.. I tillegg kan det også kreve flere lavpass filter for å oppnå ønskelig A_{min} . Flere kaskadekoblede Butterworth filter gir en brattere knekkfrekvens. Butterworth filter med Sallen-Key topologi oppnår oppførselen vi et ute etter dersom kondensatorverdiene og motstandene overholder likningene beskrevet i seksjon 2. De teoretisk ønskede verdiene for f_c og B overholder kravene satt i seksjon 1.

Referanser

- [1] ElectronicsTutorials. (Ukjent), Article
Butterworth Filter Design
Tilgjengelig ved: <https://www.electronics-tutorials.ws/filter/filter8.html>
(Sist åpnet: 7. November 2021)

- [2] ElectronicsTutorials (2021),
Sallen and Key Filter
Tilgjengelig ved:
<https://www.electronics-tutorials.ws/filter/sallen-key-filter.html>
(Sist åpnet: 7. November 2021)